

## ЛИНЕЙНАЯ ВОСПРИИМЧИВОСТЬ ТРЕХУРОВНЕВОЙ СИСТЕМЫ, НАХОДЯЩЕЙСЯ В ПОЛЕ СИЛЬНОГО НЕМОНОХРОМАТИЧЕСКОГО ИЗЛУЧЕНИЯ

С. Г. Пржибельский

Исследована линейная восприимчивость трехуровневой системы в окрестности резонанса перехода 1—2 (1 — основное состояние) в присутствии сильного немонахроматического поля, вызывающего переходы в смежном канале 2—3. Немонахроматическое поле считается комплексным гауссовым шумом со средней частотой спектра, равной частоте перехода 2—3. Получены формы линий поглощения в предельных случаях узких и широких спектров шума. Показано, что интенсивные шумы с узким спектром вызывают штарковское расщепление линии поглощения.

1. В работах [1-3] рассмотрена форма линии поглощения слабого сигнала в одном из каналов трехуровневой системы в присутствии сильного шумового излучения, действующего на смежный канал. Исследование формы линии в таких условиях позволяет проявить статистику шумового излучения. В указанных работах рассматривались случаи, когда шумовой сигнал был результатом модуляции монохроматического сигнала, либо шумом, имеющим гауссов характер [1, 2], либо случайным разрывным марковским процессом [3]. Результаты работ [1-3] показывают, что форма линии поглощения заметно зависит от способа модуляции и характера шума.

Реальный источник шумового излучения имеет спектральную структуру с произвольной статистической связью между гармониками, что не позволяет в общем случае свести такой сигнал ни к одному из типов ранее рассмотренных шумов.

В настоящей работе исследован случай, когда фазы гармоник шумового поля статистически независимы и распределены случайным образом.

2. Как и в предыдущей работе [1, 2], мы рассмотрим трехуровневую систему с нумерацией термов в порядке возрастания энергии. Спектр шумового поля  $E$  предполагается симметричным со средней частотой  $\omega_2$ , равной частоте  $\omega_{32}$  перехода между возбужденными состояниями 2—3. Слабый проверяющий сигнал  $E_1$  с частотой  $\omega_1$  действует в канале 1—2. Изменением заселенности основного состояния и релаксацией возбужденных состояний пренебрегаем.<sup>1</sup> Восприимчивость в канале 1—2 определяется недиагональным матричным элементом матрицы плотности  $f_{12}$ .

В представлении взаимодействия и в приближении вращающегося поля уравнения для недиагональных элементов  $f_{12}$  и  $f_{13}$  матрицы плотности имеют вид [1]

$$\left. \begin{aligned} f_{12} &= Af_{13} + iF \exp ist, \\ f_{13} &= A^* f_{12}, \end{aligned} \right\} \quad (1)$$

<sup>1</sup> Влияние релаксации на форму линии можно учесть в случае равенства скоростей релаксаций 2-го и 3-го состояний  $\gamma_{12} = \gamma_{13}$ . Это влияние пренебрежимо мало, если уширение, создаваемое шумовым сигналом, значительно превосходит  $\gamma_{12} (= \gamma_{13})$ .

где  $A = d_{32} E/2\hbar$ ,  $F = d_{12} E_1/2\hbar$  — амплитуды вероятностей переходов, а  $d_{32}$  и  $d_{12}$  — дипольные моменты в каналах 3—2 и 1—2 соответственно,  $\varepsilon = \omega_1 - \omega_{21}$ .

Представим величины  $A$  и  $A^*$  в виде

$$\left. \begin{aligned} A(t) &= \sum_{\omega} a_{\omega} \exp(-i\omega t - i\varphi_{\omega}), \\ A^*(t) &= \sum_{\omega} a_{\omega} \exp(i\omega t + i\varphi_{\omega}). \end{aligned} \right\} \quad (2)$$

Здесь частота мод  $\omega$  измерена относительно средней частоты  $\omega_2 = \omega_{32}$ , а спектр сигнала симметричен:  $a_{\omega} = a_{-\omega}$  (амплитуды вещественны, так как фазы мод выписаны явно). Амплитуды могут быть заданы как регулярным, так и случайным образом. Все фазы  $\varphi_{\omega}$  статистически независимы и равномерно распределены в интервале  $(-\pi, \pi)$  так, что

$$\langle \exp i\varphi_{\omega} \exp(-i\varphi_{\omega'}) \rangle = \delta_{\omega\omega'}, \quad (3)$$

где знак  $\langle \rangle$  обозначает усреднение по фазе с весом 1

$$\langle \dots \rangle = 1/(2\pi)^N \int_{-\pi}^{\pi} \dots \int (\dots) d\varphi_{\omega_1} \dots d\varphi_{\omega_N}. \quad (3a)$$

Отметим некоторые статистические свойства комплексного гауссова шума (2), непосредственно следующие из (3) и (3a)

$$\langle A_1 A_2 \rangle = \langle A_1^* A_2^* \rangle = \langle A_1 \rangle = \langle A_1^* \rangle = 0, \quad (4)$$

$$\langle A_1 A_2^* \rangle = \langle A_1^* A_2 \rangle = K(t_1 - t_2) = \sum_{\omega} a_{\omega}^2 \exp i\omega(t_1 - t_2) = K_{12}. \quad (5)$$

Здесь  $A_j$  обозначает  $A(t_j)$ ; первое равенство в (5) есть следствие симметрии спектра

$$\langle A_1 A_2^* \dots A_{2n-1} A_{2n}^* \rangle = \sum_{(i, j \dots l)} K_{1i} K_{3j} \dots K_{2n-1, l}, \quad (6)$$

где сумма взята по всем перестановкам четных чисел 2, 4, ..., 2n. Кроме перечисленных свойств шума, мы будем считать, что гармоники, формирующие линию, образуют настолько плотный спектр, что суммирование по  $\omega$  в (5) можно заменить интегрированием. Тогда  $a$  следует понимать как непрерывную функцию  $\omega$ , полученную аналитическим продолжением с дискретного множества частот.

Пусть функция корреляции  $K(t)$ , определенная спектром (5), имеет характерное время убывания  $\tau_c$

$$\tau_c = 1/K_0 \int_0^{\infty} K(t) dt,$$

здесь  $K_0 = K(0)$ . Тогда спектры шумового поля, удовлетворяющие соотношению  $K_0 \tau_c^2 \ll 1$ , мы будем называть широкими. Спектры, удовлетворяющие обратному неравенству, — узкими.

4. Запишем систему (1) в виде

$$\dot{f} = i\hat{A}f + iF, \quad (7)$$

где

$$f = \begin{pmatrix} f_{12} \\ f_{13} \end{pmatrix}, \quad \hat{A} = \begin{pmatrix} 0 & A \\ A^* & 0 \end{pmatrix}, \quad F = \begin{pmatrix} F \exp ist \\ 0 \end{pmatrix}.$$

Решение системы (7) при адиабатическом условии включения  $f(-\infty) = 0$  представим в виде

$$f(t) = i \int_{-\infty}^t T \exp \left\{ i \int_{t'}^t \hat{A}(t_1) dt_1 \right\} F(t') dt', \quad (8)$$

где  $T$  — хронологизирующий оператор Дайсона.

Усредненное по ансамблю фаз решение (8) имеет вид

$$\langle f(t) \rangle = i \int_0^{\infty} d\tau \langle \hat{S}(\tau) \rangle F(t - \tau),$$

здесь  $\langle \hat{S}(\tau) \rangle = \left\langle T \exp i \int_0^{\tau} dt_1 \hat{A}(t_1) \right\rangle$ .

Легко проверить, что

$$\langle \hat{S}(t) \rangle = I \sum_{n=0}^{\infty} (-1)^n / (2n)! \int_0^t \dots \int_0^t d_1 \dots d_{2n} T \langle A_1 A_2^* \dots A_{2n-1} A_{2n}^* \rangle \equiv IG(t), \quad (10)$$

здесь

$$I = \begin{pmatrix} 1 & 0 \\ 0 & 1 \end{pmatrix}, \quad d_j \equiv dt_j.$$

Из выражений (7), (9) и (10) следует

$$\langle f_{12}(t) \rangle = iF(\exp i\epsilon t) \int_0^{\infty} d\tau \exp(-i\epsilon\tau) G(\tau) \equiv F(\exp i\epsilon t) \chi(\epsilon). \quad (11)$$

Учитывая (6), перепишем  $G(t)$  в ином виде, именно

$$\begin{aligned} G(t) &= \sum_{n=0}^{\infty} (-1)^n \int_0^t \int_0^{t_1} \dots \int_0^{t_{2n-1}} d_1 \dots d_{2n} \langle A_1 A_2^* \dots A_{2n-1} A_{2n}^* \rangle = \\ &= \sum_{n=0}^{\infty} (-1)^n \int_0^t \int_0^{t_1} \dots \int_0^{t_{2n-1}} d_1 \dots d_{2n} \sum_{(i, j \dots l)} K_{1i} K_{3j} \dots K_{2n-1, l}. \end{aligned} \quad (12)$$

5. Для анализа выражения (12) мы применим диаграммную технику, аналогичную диаграммной технике Фейнмана. Так как применение диаграммной техники в задачах со случайными процессами достаточно широко используется [4], то мы ограничимся лишь сопоставлением некоторых диаграмм членам разложения (12)

$$\begin{aligned} 1 &= \text{---} \\ \text{а) } 1 \left[ i^2 \int_0^t \int_0^{t_1} K_{12} dt_1 dt_2 \right] 1 &= \text{---} \text{---} \text{---} \\ \text{б) } 1 \left[ i^4 \int_0^t \int_0^{t_1} \int_0^{t_2} \int_0^{t_3} K_{12} K_{34} d_1 d_2 d_3 d_4 \right] 1 &= \text{---} \text{---} \text{---} \text{---} \\ \text{в) } 1 \left[ i^4 \int_0^t \int_0^{t_1} \int_0^{t_2} \int_0^{t_3} K_{14} K_{23} d_1 d_2 d_3 d_4 \right] 1 &= \text{---} \text{---} \text{---} \text{---} \end{aligned} \quad (13)$$

Мы исследуем ряд (12) в двух предельных случаях узких и широких спектров.

6. Вначале рассмотрим случай широких спектров

$$K_0 \tau_0^2 \ll 1. \quad (14)$$

Для этого отметим вклады в (12) различных диаграмм одинакового порядка для  $t \gg \tau_0$ . Для диаграмм второго порядка (13) несвязная диаграмма б) имеет порядок  $t^2 \tau_0^2 K_0^2$ , в то время как связная диаграмма в) имеет порядок  $t \tau_0^3 K_0^2$  и вносит вклад в (12) в  $\tau_0/t$  раз меньший б). Анализ высших порядков показывает, что каждая связь вносит малость  $\tau_0/t$ . Поэтому мы

суммируем лишь главную подпоследовательность несвязных диаграмм, что приводит к уравнению Дайсена вида

$$G(t) = 1 - \int_0^t \int_0^{t_1} d_1 d_2 K_{12} G(t_2). \quad (15)$$

Учитывая быстрое изменение  $K(t)$  на интервалах  $\sim \tau_c / K_0 \tau_c^2$ , запишем решение уравнения (15) с точностью до малых членов  $O(K_0 \tau_c^2)$  в виде

$$G_w(t) = \exp(-K_0 \tau_c t). \quad (16)$$

Индекс  $w$  обозначает, что  $G_w(t)$  совпадает с  $G(t)$  в области  $t \gg \tau_c$ . Найденное выражение для  $G(t)$  справедливо лишь для  $t \gg \tau_c$ , что не мешает, однако, вычислить восприимчивость (11) с достаточной точностью.

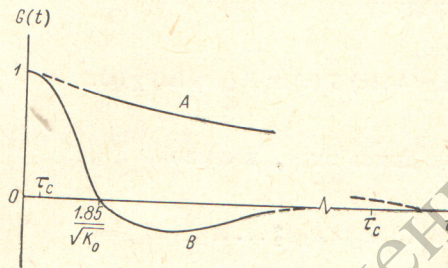


Рис. 1.

А — широкий спектр  $K_0 \tau_c^2 \ll 1$ . Сплошной линией показана  $G(t) = \exp(-K_0 \tau_c t)$ . В — узкий спектр  $K_0 \tau_c^2 \gg 1$ . Сплошной линией показана  $G(t) = 1 - \sqrt{K_0} t F(\sqrt{K_0} t/2)$ . Верхняя шкала времени относится к случаю А, нижняя к В.

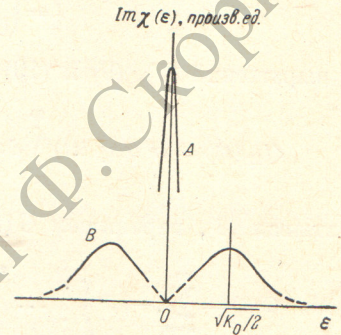


Рис. 2. Форма линии поглощения в канале 1—2 (схематически).

А — широкий спектр, В — узкий интенсивный спектр. Штрихами обозначена область большой относительной ошибки.

Дело в том, что при выполнении неравенства  $K_0 \tau_c^2 \ll 1$  экспонента  $\exp(-K_0 \tau_c t)$  медленно меняется на масштабах  $\tau_c$  (рис. 1), и область малых времен вносит малый вклад в интеграл (11). Таким образом, из (11) и (16) следует

$$\chi(\epsilon) = 1/(\epsilon - iK_0 \tau_c). \quad (17)$$

Линия поглощения имеет лорентцеву форму

$$\text{Im } \chi(\epsilon) = K_0 \tau_c / (\epsilon^2 + K_0^2 \tau_c^2) \quad (18)$$

и не проявляет штарковского расщепления.

7. Изучим поведение  $G(t)$  в случае узких спектров ( $K_0 \tau_c^2 \gg 1$ ). Для этого рассмотрим малые времена  $t \ll \tau_c$  в выражении (12). В этом случае  $K_{jl}$  не успевает заметно измениться за время  $t$ , поэтому все диаграммы одинакового порядка вносят одинаковый вклад  $(-1)^n K_0^n t^{2n} / (2n)!$ . Таким образом,

$$G_s(t) = \sum_{n=0}^{\infty} (-1)^n K_0^n n! t^{2n} / (2n)! = \int_0^{\infty} dx \exp(-x) \cos \sqrt{K_0 x} t. \quad (19)$$

Индекс  $s$  показывает, что  $G_s$  совпадает с  $G(t)$  в области  $t \ll \tau_c$ .  $G_s(t)$  может быть выражена через специальную функцию  $F(z)$  [5], именно

$$G_s(t) = 1 - \sqrt{K_0} t F(\sqrt{K_0} t/2). \quad (20)$$

Поведение  $G_s(t)$  показано на рис. 1.

Несмотря на то что мы знаем поведение  $G(t)$  лишь для  $t \ll \tau_c$ , можно вычислить восприимчивость (11), указав при этом ошибку, связанную с незнанием поведения  $G(t)$  при  $t \gg 1/\sqrt{K_0}^2$ .

Оценим ошибку, считая условие  $K_0 \tau_c^2 \gg 1$  выполненным. В виду того что  $G(t)$  должна иметь затухающий характер, вклад в интеграл (11) от области  $t \gg 1/\sqrt{K_0}$  не превосходит величины  $\int_0^{\infty} dt |G_s(t)| |\exp(-\varepsilon t)|$ , где  $1/\sqrt{K_0} \ll \theta \ll \tau_c$ ; например,  $\theta = (\tau_c/\sqrt{K_0})^{1/2}$ .  $G_s(t)$  при  $t \gg 1/\sqrt{K_0}$  ведет себя как  $-2/K_0 t^2$ . Следовательно, ошибка не превосходит величины  $(2/\sqrt{K_0}) 1/\sqrt{\sqrt{K_0} \tau_c}$ .

Вычислим восприимчивость, подставляя вместо  $G_s(t)$  в (11) значение  $G_s(t)$  из (19). Меняя порядок интегрирования, мы приходим к выражению

$$\chi(\varepsilon) = (\varepsilon/K_0) \int_0^{\infty} dx \exp(-x) (\varepsilon^2 - i\delta \operatorname{sign} \varepsilon - x)^{-1}. \quad (21)$$

Форма линии поглощения имеет вид

$$\operatorname{Im} \chi(\varepsilon) = (\pi |\varepsilon/K_0|) \exp(-\varepsilon^2/K_0) \quad (22)$$

и изображена на рис. 2.

Относительная ошибка  $(2/\sqrt{K_0} \sqrt{K_0} \tau_c) (K_0/\pi |\varepsilon|) \exp(\varepsilon^2/K_0)$  велика в области низких и высоких частот и мала в области резонансов при выполнении условия  $\sqrt{K_0} \tau_c \gg 1$ . Следовательно, наличие расщепления в условиях  $\sqrt{K_0} \tau_c \gg 1$  установлено.

По мере уменьшения  $K_0$  расщепление уменьшается, одновременно с этим уменьшается достоверная область. При  $\sqrt{K_0} \tau_c \sim 1$  вся область частот становится недостоверной и ничего нельзя сказать о расщеплении. Имея в виду другой предельный случай  $K_0 \tau_c^2 \ll 1$ , не обнаруживающий расщепления, можно полагать, что с изменением параметра  $\sqrt{K_0} \tau_c$  от больших значений к малым расщепленные пики сближаются и одновременно «затекает» провал, в пределе исчезая совсем.

Интересно выяснить вопрос о влиянии характера шума на форму линии поглощения. Сравнивая результаты работ [1-3] с полученными здесь, можно утверждать, что характер шумов с широким спектром слабо сказывается на форме линии, в то время как статистика интенсивных шумов с узким спектром оказывает влияние на форму линии поглощения. Так, например, вещественный гауссов шум с  $\langle A \rangle = 0$  вообще не проявляет расщепления [1]. Из всех типов модуляций, разобранных в [3], к форме линии подобной описанной приводит лишь амплитудно-фазовый тип. По-видимому, в последнем случае информацию о характере шума дают более тонкие детали формы линии, нежели ширина и расщепление.

В заключение автор выражает глубокую благодарность В. А. Ходовому и В. В. Хромову за поддержку и внимание к работе и В. И. Перелю за критические замечания.

#### Литература

- [1] С. Г. Пржибелский, В. А. Ходовой. Опт. и спектр., 32, 237, 1972.
- [2] С. Г. Пржибелский, В. А. Ходовой. Докл. на II Вавиловской конференции по нелинейной оптике. Новосибирск, июнь 1971.
- [3] Л. Д. Зусман, А. И. Бурштейн. ЖЭТФ, 61, 976, 1971.
- [4] В. И. Татарский. Распространение волн в турбулентной атмосфере. Изд. «Наука», М., 1967.
- [5] Н. Н. Лебедев. Специальные функции и их приложения. ГИТТЛ, М., 1953.

Поступило в Редакцию 9 февраля 1972 г.

<sup>2</sup> Поведение  $G(t)$  при  $t \geq \tau_c$  описывает уравнение (15).